

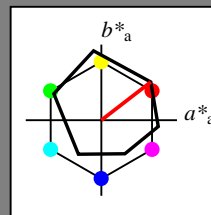
Eingabe: Farbmétrisches Offset-Reflektiv-System ORS18

für Buntton  $h^* = lab^*h = 38/360 = 0.105$  $lab^*tch$  und  $lab^*nch$ 

D65: Buntton O

LCH\*Ma: 48 83 38

olv\*Ma: 1.0 0.0 0.0



ORS18; adaptierte CIELAB-Daten

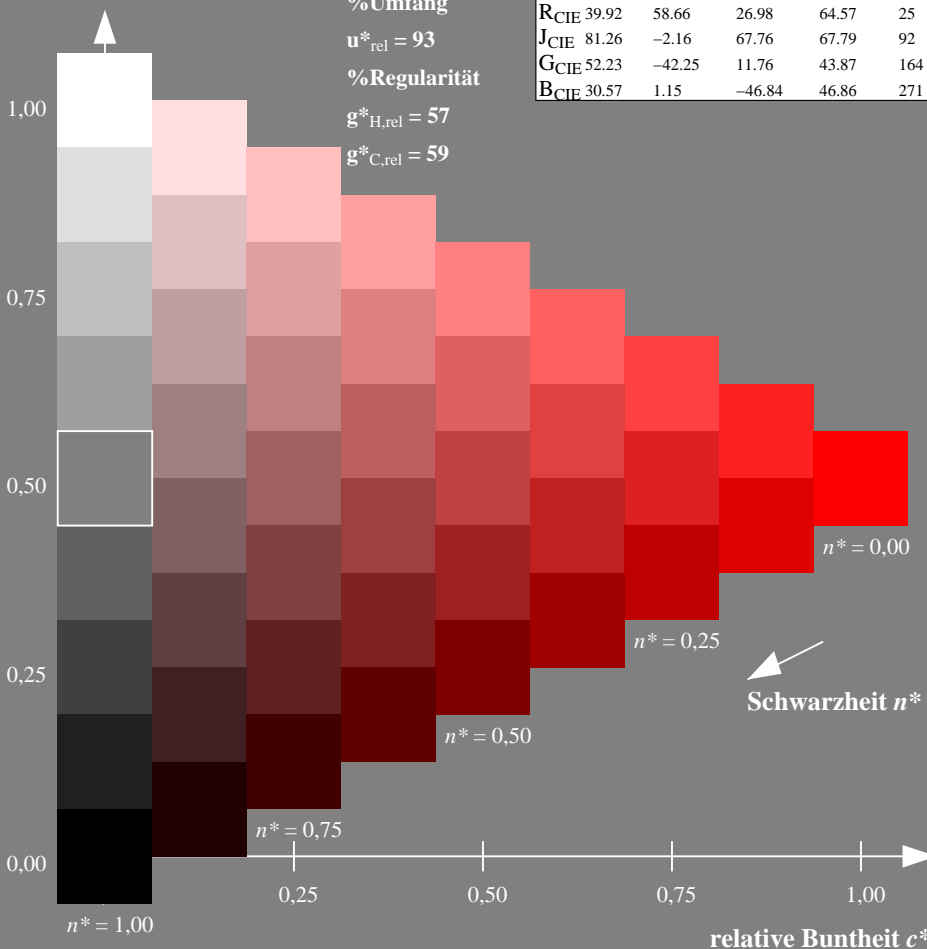
	$L^*=L^*_a$	$a^*_a$	$b^*_a$	$C^*_{ab,a}$	$h^*_{ab,a}$
O <sub>Ma</sub>	47.94	65.39	50.52	82.63	38
Y <sub>Ma</sub>	90.37	-10.26	91.75	92.32	96
L <sub>Ma</sub>	50.9	-62.83	34.96	71.91	151
C <sub>Ma</sub>	58.62	-30.34	-45.01	54.3	236
V <sub>Ma</sub>	25.72	31.1	-44.4	54.22	305
M <sub>Ma</sub>	48.13	75.28	-8.36	75.74	354
N <sub>Ma</sub>	18.01	0.0	0.0	0.0	0
W <sub>Ma</sub>	95.41	0.0	0.0	0.0	0
R <sub>CIE</sub>	39.92	58.66	26.98	64.57	25
J <sub>CIE</sub>	81.26	-2.16	67.76	67.79	92
G <sub>CIE</sub>	52.23	-42.25	11.76	43.87	164
B <sub>CIE</sub>	30.57	1.15	-46.84	46.86	271

Dreiecks-Helligkeit  $t^*$ 

%Umfang

 $u^*_{rel} = 93$ 

%Regularität

 $g^*_{H,rel} = 57$  $g^*_{C,rel} = 59$ 

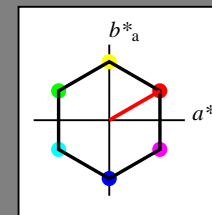
Ausgabe: Farbmétrisches Standard-Reflektiv-System SRS18

für Buntton  $h^* = lab^*h = 30/360 = 0.083$  $lab^*tch$  und  $lab^*nch$ 

D65: Buntton O

LCH\*Ma: 57 77 30

olv\*Ma: 1.0 0.0 0.0



SRS18; adaptierte CIELAB-Daten

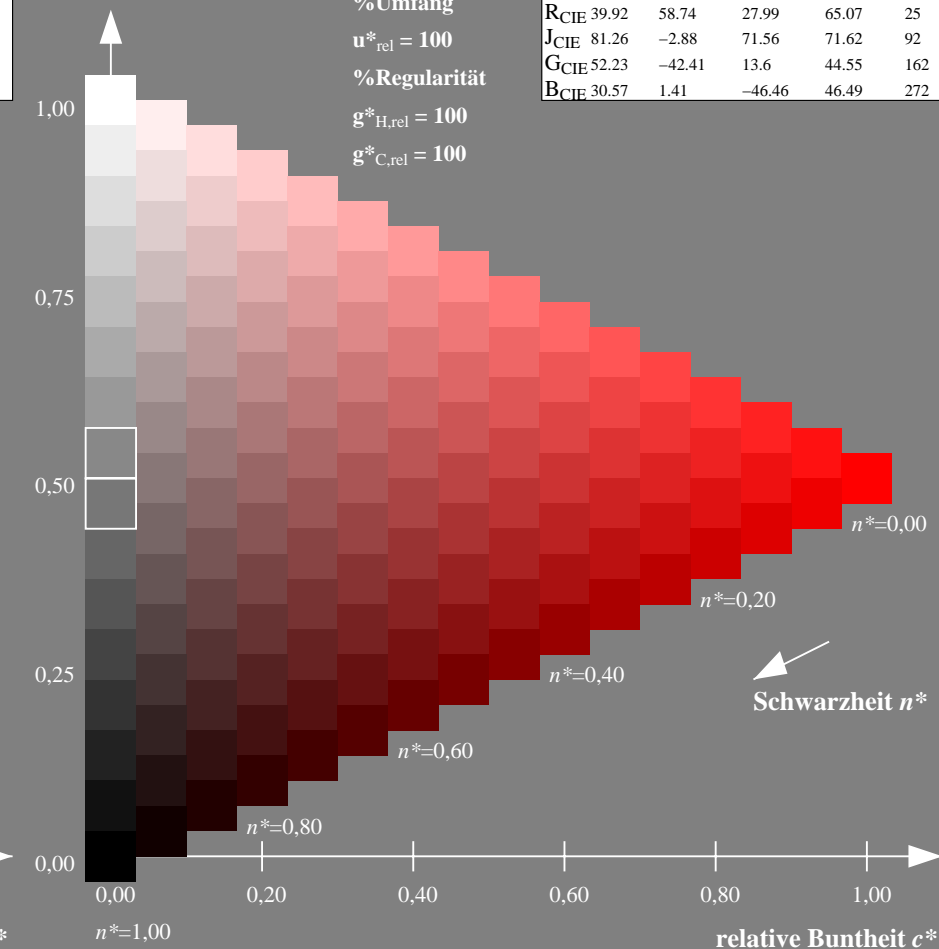
	$L^*=L^*_a$	$a^*_a$	$b^*_a$	$C^*_{ab,a}$	$h^*_{ab,a}$
O <sub>Ma</sub>	56.71	67.03	38.7	77.4	30
Y <sub>Ma</sub>	56.71	0.0	77.4	77.4	90
L <sub>Ma</sub>	56.71	-67.02	38.7	77.4	150
C <sub>Ma</sub>	56.71	-67.02	-38.69	77.4	210
V <sub>Ma</sub>	56.71	0.0	-77.39	77.4	270
M <sub>Ma</sub>	56.71	67.03	-38.69	77.4	330
N <sub>Ma</sub>	18.01	0.0	0.0	0.0	0
W <sub>Ma</sub>	95.41	0.0	0.0	0.0	0
R <sub>CIE</sub>	39.92	58.74	27.99	65.07	25
J <sub>CIE</sub>	81.26	-2.88	71.56	71.62	92
G <sub>CIE</sub>	52.23	-42.41	13.6	44.55	162
B <sub>CIE</sub>	30.57	1.41	-46.46	46.49	272

Dreiecks-Helligkeit  $t^*$ 

%Umfang

 $u^*_{rel} = 100$ 

%Regularität

 $g^*_{H,rel} = 100$  $g^*_{C,rel} = 100$ 

NG920-7, 9stufige Reihen für konstanten CIELAB Buntton 38/360 = 0.105 (links)

16stufige Reihen für konstanten CIELAB Buntton 30/360 = 0.083 (rechts)

BAM-Prüfvorlage NG92; Farbmétrik-Systeme ORS18 &amp; ORS18input: olv\* setrgbcolor

D65: 9 und 16stufige Farbreihen für 10 Bunttöne

output: Startup (S) data dependend

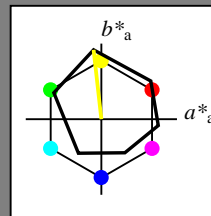
Eingabe: Farbmétrisches Offset-Reflektiv-System ORS18

für Buntton  $h^* = lab^*h = 96/360 = 0.268$  $lab^*tch$  und  $lab^*nch$ 

D65: Buntton Y

LCH\*Ma: 90 92 96

olv\*Ma: 1.0 1.0 0.0

Dreiecks-Helligkeit  $t^*$ 

%Umfang

 $u^*_{rel} = 93$ 

%Regularität

 $g^*_{H,rel} = 57$  $g^*_{C,rel} = 59$ 

ORS18; adaptierte CIELAB-Daten

	$L^*=L^*_a$	$a^*_a$	$b^*_a$	$C^*_{ab,a}$	$h^*_{ab,a}$
O <sub>Ma</sub>	47.94	65.39	50.52	82.63	38
Y <sub>Ma</sub>	90.37	-10.26	91.75	92.32	96
L <sub>Ma</sub>	50.9	-62.83	34.96	71.91	151
C <sub>Ma</sub>	58.62	-30.34	-45.01	54.3	236
V <sub>Ma</sub>	25.72	31.1	-44.4	54.22	305
M <sub>Ma</sub>	48.13	75.28	-8.36	75.74	354
N <sub>Ma</sub>	18.01	0.0	0.0	0.0	0
W <sub>Ma</sub>	95.41	0.0	0.0	0.0	0
R <sub>CIE</sub>	39.92	58.66	26.98	64.57	25
J <sub>CIE</sub>	81.26	-2.16	67.76	67.79	92
G <sub>CIE</sub>	52.23	-42.25	11.76	43.87	164
B <sub>CIE</sub>	30.57	1.15	-46.84	46.86	271

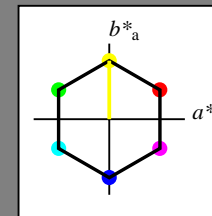
Ausgabe: Farbmétrisches Standard-Reflektiv-System SRS18

für Buntton  $h^* = lab^*h = 90/360 = 0.25$  $lab^*tch$  und  $lab^*nch$ 

D65: Buntton Y

LCH\*Ma: 57 77 90

olv\*Ma: 1.0 1.0 0.0

Dreiecks-Helligkeit  $t^*$ 

%Umfang

 $u^*_{rel} = 100$ 

%Regularität

 $g^*_{H,rel} = 100$  $g^*_{C,rel} = 100$ 

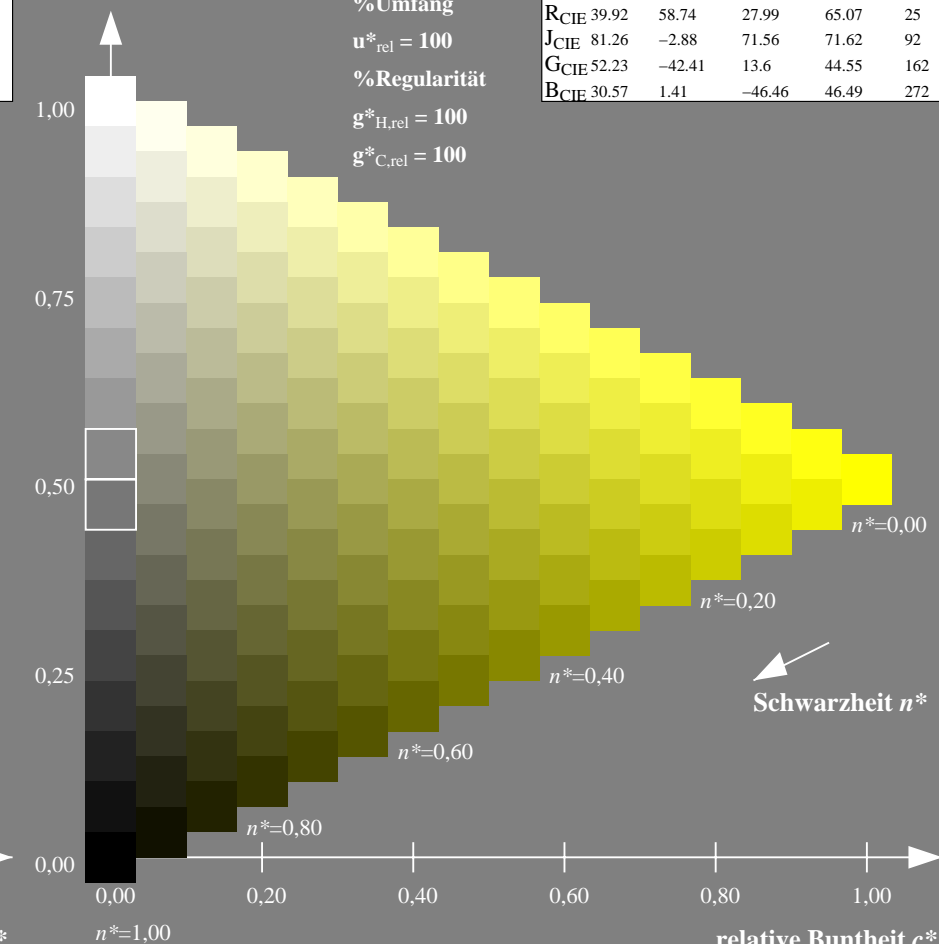
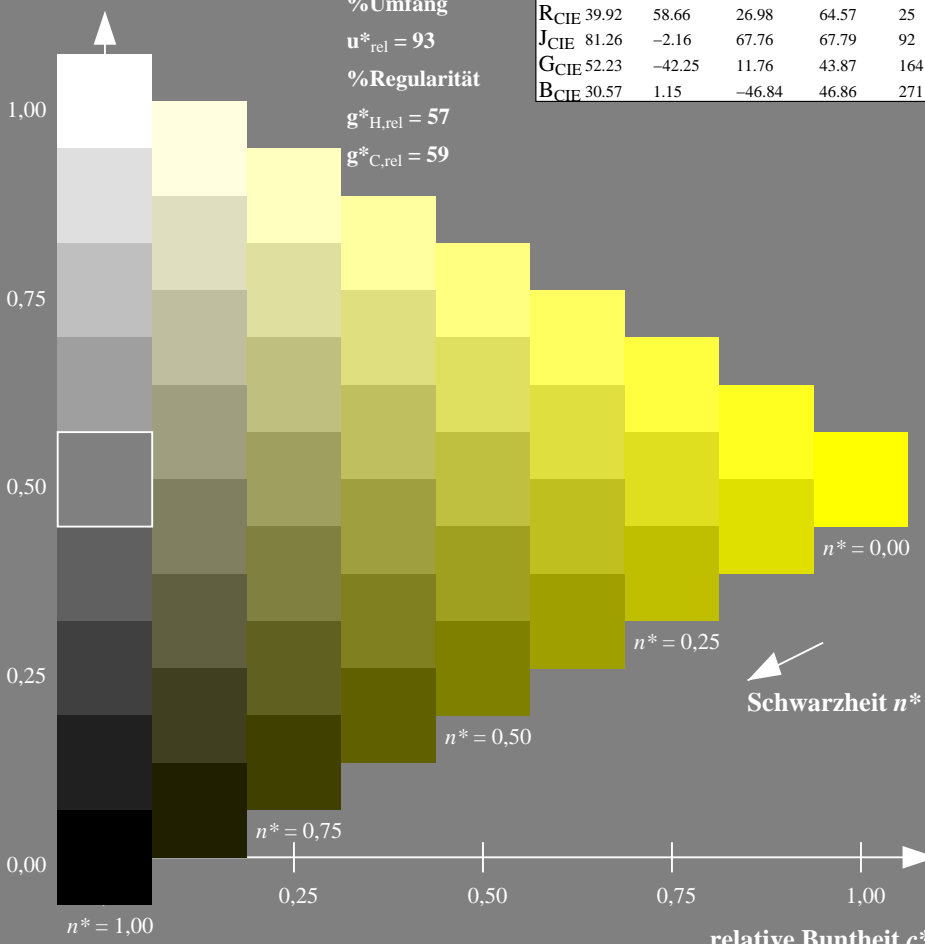
SRS18; adaptierte CIELAB-Daten

	$L^*=L^*_a$	$a^*_a$	$b^*_a$	$C^*_{ab,a}$	$h^*_{ab,a}$
O <sub>Ma</sub>	56.71	67.03	38.7	77.4	30
Y <sub>Ma</sub>	56.71	0.0	77.4	77.4	90
L <sub>Ma</sub>	56.71	-67.02	38.7	77.4	150
C <sub>Ma</sub>	56.71	-67.02	-38.69	77.4	210
V <sub>Ma</sub>	56.71	0.0	-77.39	77.4	270
M <sub>Ma</sub>	56.71	67.03	-38.69	77.4	330
N <sub>Ma</sub>	18.01	0.0	0.0	0.0	0
W <sub>Ma</sub>	95.41	0.0	0.0	0.0	0
R <sub>CIE</sub>	39.92	58.74	27.99	65.07	25
J <sub>CIE</sub>	81.26	-2.88	71.56	71.62	92
G <sub>CIE</sub>	52.23	-42.41	13.6	44.55	162
B <sub>CIE</sub>	30.57	1.41	-46.46	46.49	272

%Umfang

 $u^*_{rel} = 100$ 

%Regularität

 $g^*_{H,rel} = 100$  $g^*_{C,rel} = 100$ 

NG920-7, 9stufige Reihen für konstanten CIELAB Buntton 96/360 = 0.268 (links)

16stufige Reihen für konstanten CIELAB Buntton 90/360 = 0.25 (rechts)

BAM-Prüfvorlage NG92; Farbmétrik-Systeme ORS18 &amp; ORS18input: olv\* setrgbcolor

D65: 9 und 16stufige Farbreihen für 10 Bunttöne

output: Startup (S) data dependend

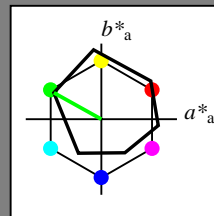
Eingabe: Farbmétrisches Offset-Reflektiv-System ORS18

für Buntton  $h^* = lab^*h = 151/360 = 0.419$  $lab^*tch$  und  $lab^*nch$ 

D65: Buntton L

LCH\*Ma: 51 72 151

olv\*Ma: 0.0 1.0 0.0

Dreiecks-Helligkeit  $t^*$ 

%Umfang

 $u^*_{rel} = 93$ 

%Regularität

 $g^*_{H,rel} = 57$  $g^*_{C,rel} = 59$ 

ORS18; adaptierte CIELAB-Daten

	$L^*=L^*_a$	$a^*_a$	$b^*_a$	$C^*_{ab,a}$	$h^*_{ab,a}$
O <sub>Ma</sub>	47.94	65.39	50.52	82.63	38
Y <sub>Ma</sub>	90.37	-10.26	91.75	92.32	96
L <sub>Ma</sub>	50.9	-62.83	34.96	71.91	151
C <sub>Ma</sub>	58.62	-30.34	-45.01	54.3	236
V <sub>Ma</sub>	25.72	31.1	-44.4	54.22	305
M <sub>Ma</sub>	48.13	75.28	-8.36	75.74	354
N <sub>Ma</sub>	18.01	0.0	0.0	0.0	0
W <sub>Ma</sub>	95.41	0.0	0.0	0.0	0
R <sub>CIE</sub>	39.92	58.66	26.98	64.57	25
J <sub>CIE</sub>	81.26	-2.16	67.76	67.79	92
G <sub>CIE</sub>	52.23	-42.25	11.76	43.87	164
B <sub>CIE</sub>	30.57	1.15	-46.84	46.86	271

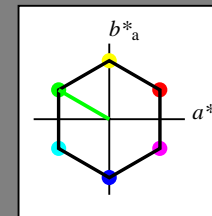
Ausgabe: Farbmétrisches Standard-Reflektiv-System SRS18

für Buntton  $h^* = lab^*h = 150/360 = 0.417$  $lab^*tch$  und  $lab^*nch$ 

D65: Buntton L

LCH\*Ma: 57 77 150

olv\*Ma: 0.0 1.0 0.0

Dreiecks-Helligkeit  $t^*$ 

%Umfang

 $u^*_{rel} = 100$ 

%Regularität

 $g^*_{H,rel} = 100$  $g^*_{C,rel} = 100$ 

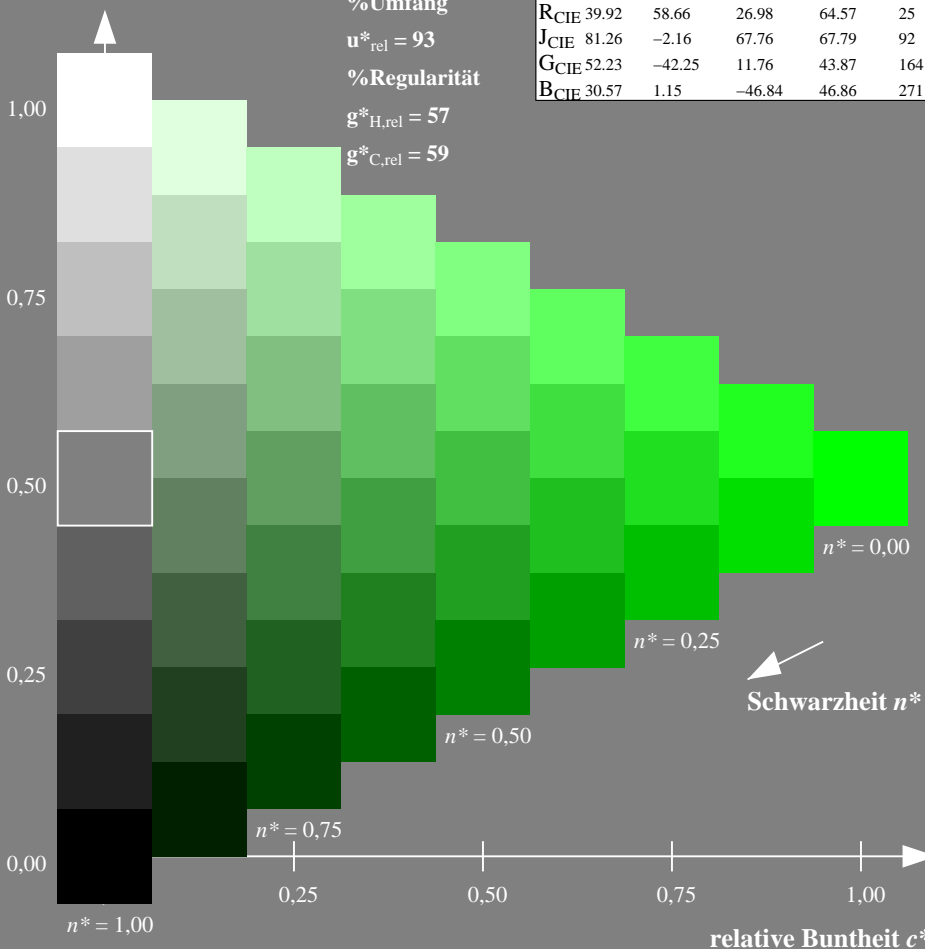
SRS18; adaptierte CIELAB-Daten

	$L^*=L^*_a$	$a^*_a$	$b^*_a$	$C^*_{ab,a}$	$h^*_{ab,a}$
O <sub>Ma</sub>	56.71	67.03	38.7	77.4	30
Y <sub>Ma</sub>	56.71	0.0	77.4	77.4	90
L <sub>Ma</sub>	56.71	-67.02	38.7	77.4	150
C <sub>Ma</sub>	56.71	-67.02	-38.69	77.4	210
V <sub>Ma</sub>	56.71	0.0	-77.39	77.4	270
M <sub>Ma</sub>	56.71	67.03	-38.69	77.4	330
N <sub>Ma</sub>	18.01	0.0	0.0	0.0	0
W <sub>Ma</sub>	95.41	0.0	0.0	0.0	0
R <sub>CIE</sub>	39.92	58.74	27.99	65.07	25
J <sub>CIE</sub>	81.26	-2.88	71.56	71.62	92
G <sub>CIE</sub>	52.23	-42.41	13.6	44.55	162
B <sub>CIE</sub>	30.57	1.41	-46.46	46.49	272

%Umfang

 $u^*_{rel} = 100$ 

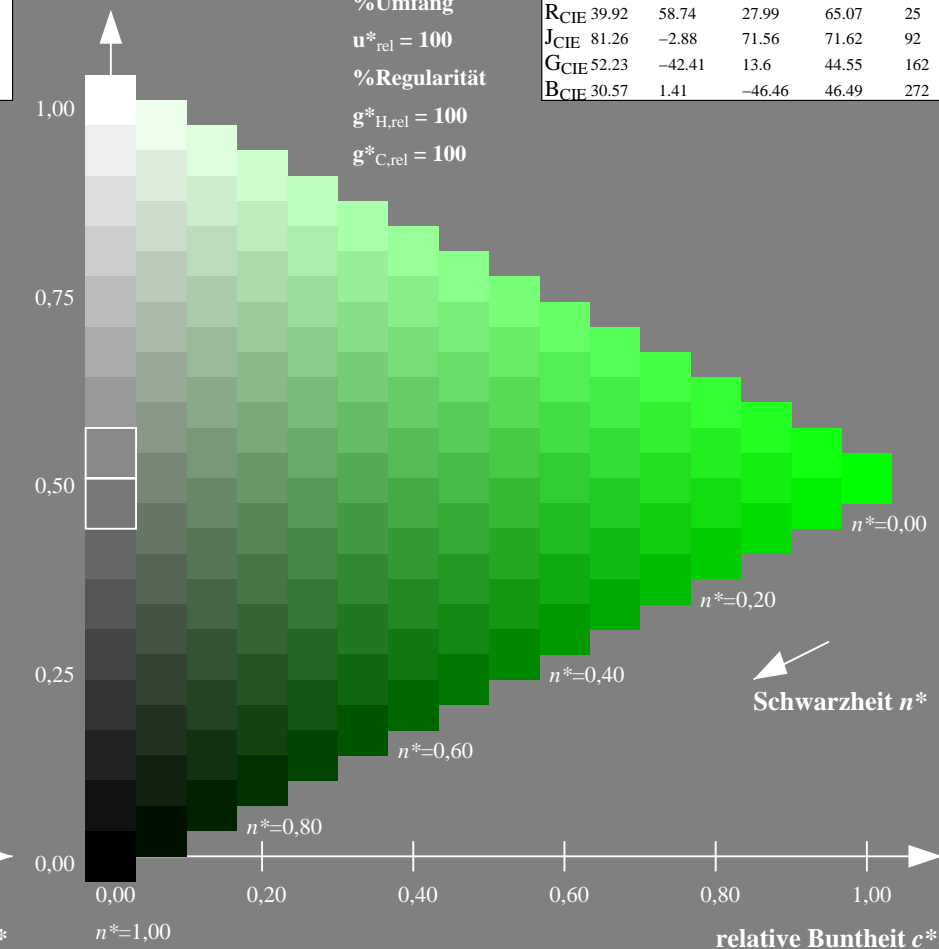
%Regularität

 $g^*_{H,rel} = 100$  $g^*_{C,rel} = 100$ 

NG920-7, 9stufige Reihen für konstanten CIELAB Buntton 151/360 = 0.419 (links)

BAM-Prüfvorlage NG92; Farbmétrik-Systeme ORS18 &amp; ORS18input: olv\* setrgbcolor

D65: 9 und 16stufige Farbreihen für 10 Bunttöne



16stufige Reihen für konstanten CIELAB Buntton 150/360 = 0.417 (rechts)

output: Startup (S) data dependend

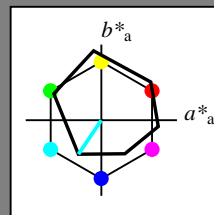
Eingabe: Farbmétrisches Offset-Reflektiv-System ORS18

für Buntton  $h^* = lab^*h = 236/360 = 0.656$  $lab^*tch$  und  $lab^*nch$ 

D65: Buntton C

LCH\*Ma: 59 54 236

olv\*Ma: 0.0 1.0 1.0

Dreiecks-Helligkeit  $t^*$ 

%Umfang

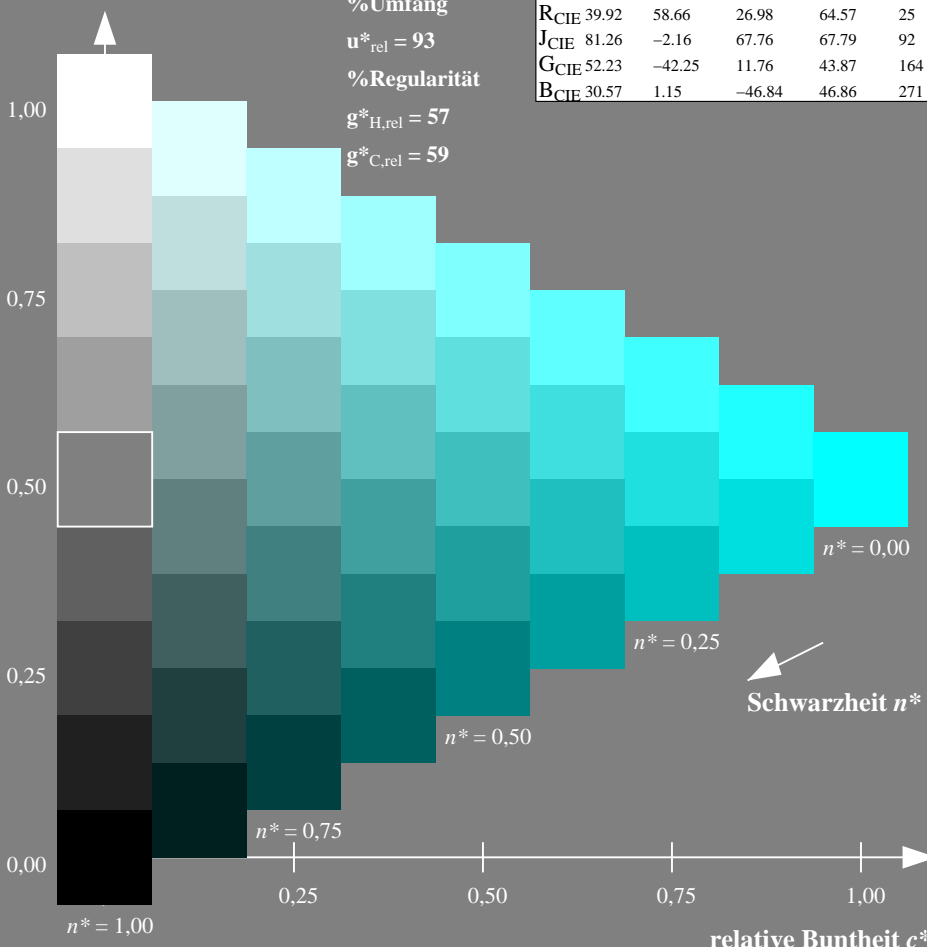
 $u^*_{rel} = 93$ 

%Regularität

 $g^*_{H,rel} = 57$  $g^*_{C,rel} = 59$ 

ORS18; adaptierte CIELAB-Daten

	$L^*=L^*_a$	$a^*_a$	$b^*_a$	$C^*_{ab,a}$	$h^*_{ab,a}$
O <sub>Ma</sub>	47.94	65.39	50.52	82.63	38
Y <sub>Ma</sub>	90.37	-10.26	91.75	92.32	96
L <sub>Ma</sub>	50.9	-62.83	34.96	71.91	151
C <sub>Ma</sub>	58.62	-30.34	-45.01	54.3	236
V <sub>Ma</sub>	25.72	31.1	-44.4	54.22	305
M <sub>Ma</sub>	48.13	75.28	-8.36	75.74	354
N <sub>Ma</sub>	18.01	0.0	0.0	0.0	0
W <sub>Ma</sub>	95.41	0.0	0.0	0.0	0
R <sub>CIE</sub>	39.92	58.66	26.98	64.57	25
J <sub>CIE</sub>	81.26	-2.16	67.76	67.79	92
G <sub>CIE</sub>	52.23	-42.25	11.76	43.87	164
B <sub>CIE</sub>	30.57	1.15	-46.84	46.86	271



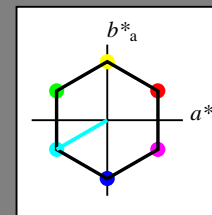
Ausgabe: Farbmétrisches Standard-Reflektiv-System SRS18

für Buntton  $h^* = lab^*h = 210/360 = 0.583$  $lab^*tch$  und  $lab^*nch$ 

D65: Buntton C

LCH\*Ma: 57 77 210

olv\*Ma: 0.0 1.0 1.0

Dreiecks-Helligkeit  $t^*$ 

%Umfang

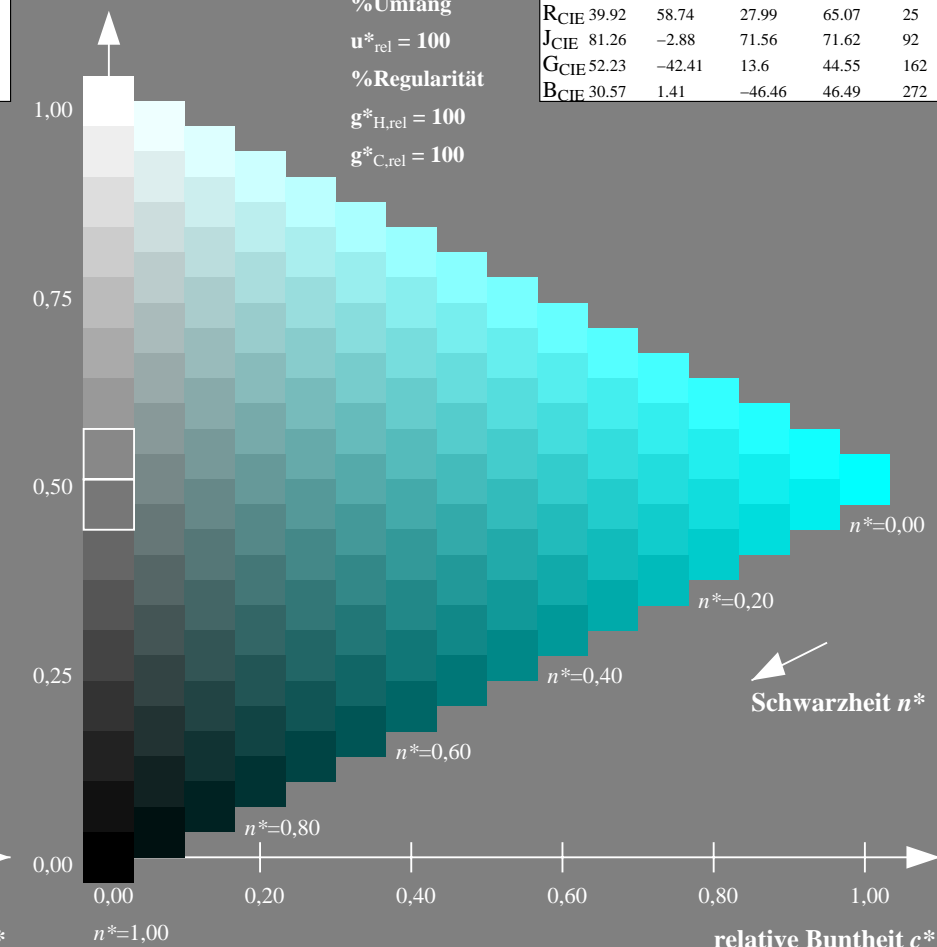
 $u^*_{rel} = 100$ 

%Regularität

 $g^*_{H,rel} = 100$  $g^*_{C,rel} = 100$ 

SRS18; adaptierte CIELAB-Daten

	$L^*=L^*_a$	$a^*_a$	$b^*_a$	$C^*_{ab,a}$	$h^*_{ab,a}$
O <sub>Ma</sub>	56.71	67.03	38.7	77.4	30
Y <sub>Ma</sub>	56.71	0.0	77.4	77.4	90
L <sub>Ma</sub>	56.71	-67.02	38.7	77.4	150
C <sub>Ma</sub>	56.71	-67.02	-38.69	77.4	210
V <sub>Ma</sub>	56.71	0.0	-77.39	77.4	270
M <sub>Ma</sub>	56.71	67.03	-38.69	77.4	330
N <sub>Ma</sub>	18.01	0.0	0.0	0.0	0
W <sub>Ma</sub>	95.41	0.0	0.0	0.0	0
R <sub>CIE</sub>	39.92	58.74	27.99	65.07	25
J <sub>CIE</sub>	81.26	-2.88	71.56	71.62	92
G <sub>CIE</sub>	52.23	-42.41	13.6	44.55	162
B <sub>CIE</sub>	30.57	1.41	-46.46	46.49	272



NG920-7, 9stufige Reihen für konstanten CIELAB Buntton 236/360 = 0.656 (links)

16stufige Reihen für konstanten CIELAB Buntton 210/360 = 0.583 (rechts)

BAM-Prüfvorlage NG92; Farbmétrik-Systeme ORS18 &amp; ORS18input: olv\* setrgbcolor

D65: 9 und 16stufige Farbreihen für 10 Bunttöne

output: Startup (S) data dependend

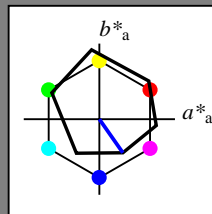
Eingabe: Farbmétrisches Offset-Reflektiv-System ORS18

für Buntton  $h^* = lab^*h = 305/360 = 0.847$  $lab^*tch$  und  $lab^*nch$ 

D65: Buntton V

LCH\*Ma: 26 54 305

olv\*Ma: 0.0 0.0 1.0



ORS18; adaptierte CIELAB-Daten

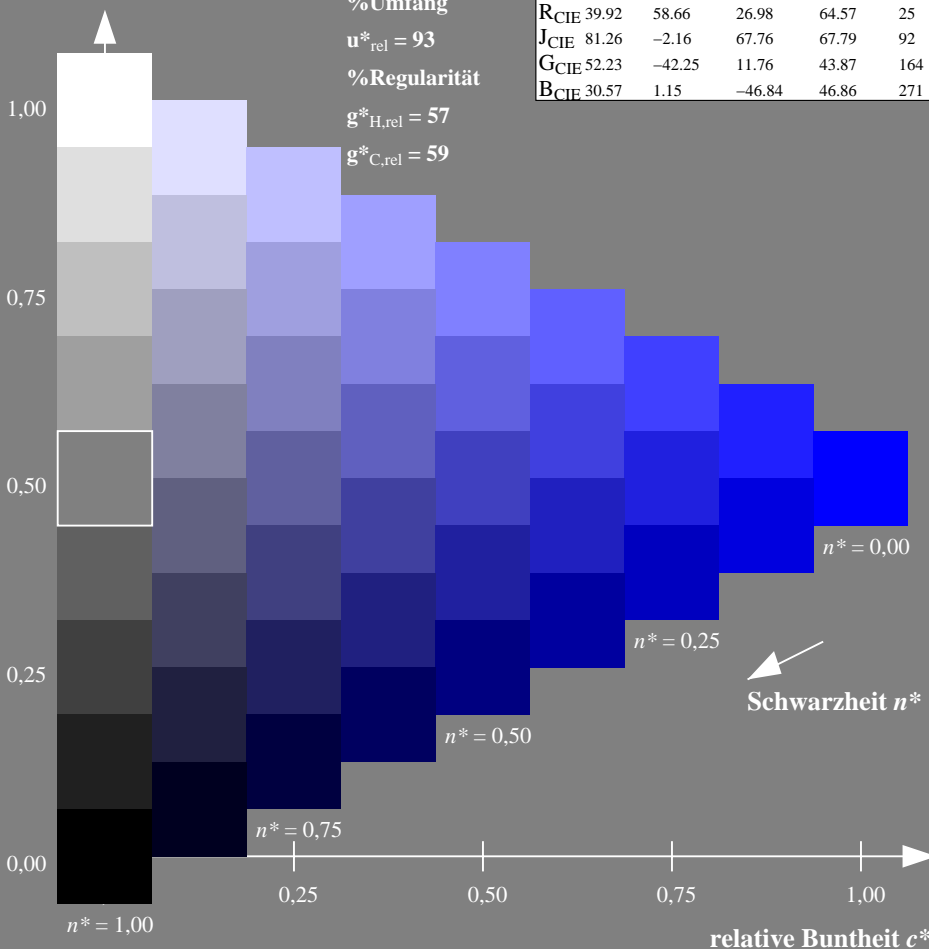
	$L^*=L^*_a$	$a^*_a$	$b^*_a$	$C^*_{ab,a}$	$h^*_{ab,a}$
O <sub>Ma</sub>	47.94	65.39	50.52	82.63	38
Y <sub>Ma</sub>	90.37	-10.26	91.75	92.32	96
L <sub>Ma</sub>	50.9	-62.83	34.96	71.91	151
C <sub>Ma</sub>	58.62	-30.34	-45.01	54.3	236
V <sub>Ma</sub>	25.72	31.1	-44.4	54.22	305
M <sub>Ma</sub>	48.13	75.28	-8.36	75.74	354
N <sub>Ma</sub>	18.01	0.0	0.0	0.0	0
W <sub>Ma</sub>	95.41	0.0	0.0	0.0	0
R <sub>CIE</sub>	39.92	58.66	26.98	64.57	25
J <sub>CIE</sub>	81.26	-2.16	67.76	67.79	92
G <sub>CIE</sub>	52.23	-42.25	11.76	43.87	164
B <sub>CIE</sub>	30.57	1.15	-46.84	46.86	271

Dreiecks-Helligkeit  $t^*$ 

%Umfang

 $u^*_{rel} = 93$ 

%Regularität

 $g^*_{H,rel} = 57$  $g^*_{C,rel} = 59$ 

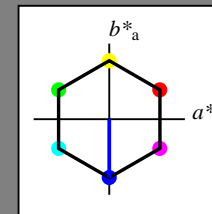
Ausgabe: Farbmétrisches Standard-Reflektiv-System SRS18

für Buntton  $h^* = lab^*h = 270/360 = 0.75$  $lab^*tch$  und  $lab^*nch$ 

D65: Buntton V

LCH\*Ma: 57 77 270

olv\*Ma: 0.0 0.0 1.0



SRS18; adaptierte CIELAB-Daten

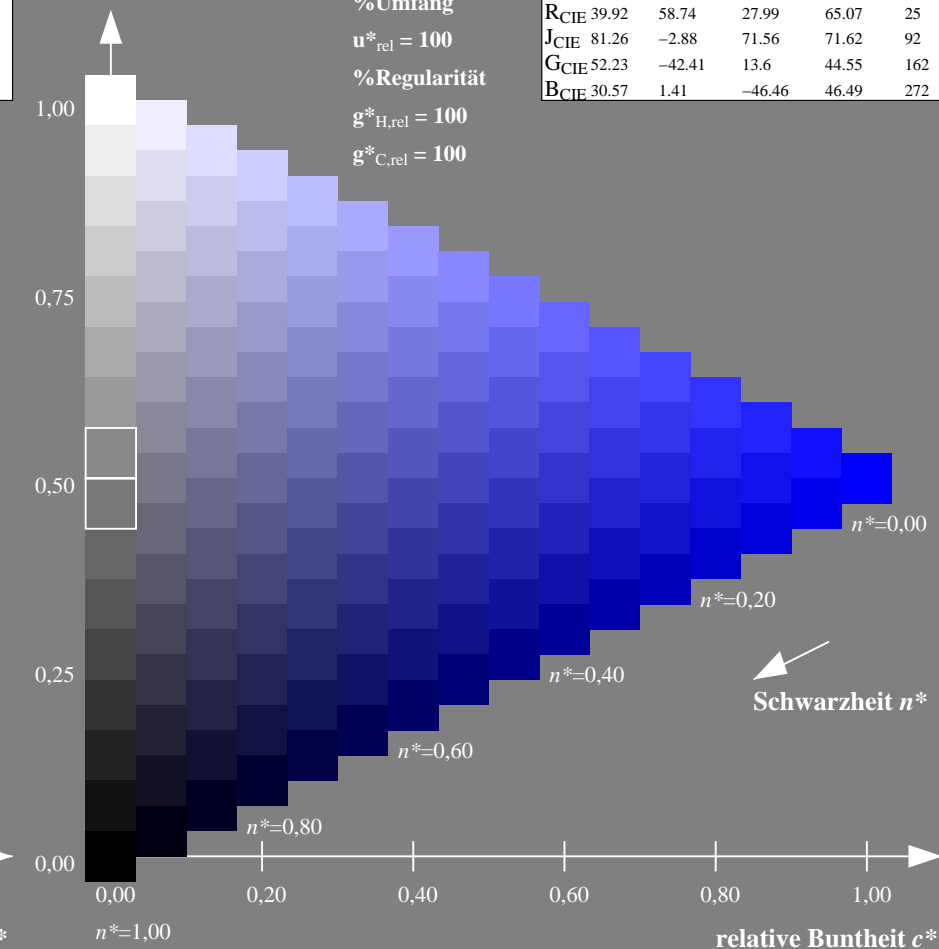
	$L^*=L^*_a$	$a^*_a$	$b^*_a$	$C^*_{ab,a}$	$h^*_{ab,a}$
O <sub>Ma</sub>	56.71	67.03	38.7	77.4	30
Y <sub>Ma</sub>	56.71	0.0	77.4	77.4	90
L <sub>Ma</sub>	56.71	-67.02	38.7	77.4	150
C <sub>Ma</sub>	56.71	-67.02	-38.69	77.4	210
V <sub>Ma</sub>	56.71	0.0	-77.39	77.4	270
M <sub>Ma</sub>	56.71	67.03	-38.69	77.4	330
N <sub>Ma</sub>	18.01	0.0	0.0	0.0	0
W <sub>Ma</sub>	95.41	0.0	0.0	0.0	0
R <sub>CIE</sub>	39.92	58.74	27.99	65.07	25
J <sub>CIE</sub>	81.26	-2.88	71.56	71.62	92
G <sub>CIE</sub>	52.23	-42.41	13.6	44.55	162
B <sub>CIE</sub>	30.57	1.41	-46.46	46.49	272

Dreiecks-Helligkeit  $t^*$ 

%Umfang

 $u^*_{rel} = 100$ 

%Regularität

 $g^*_{H,rel} = 100$  $g^*_{C,rel} = 100$ 

NG920-7, 9stufige Reihen für konstanten CIELAB Buntton 305/360 = 0.847 (links)

16stufige Reihen für konstanten CIELAB Buntton 270/360 = 0.75 (rechts)

BAM-Prüfvorlage NG92; Farbmétrik-Systeme ORS18 &amp; ORS18input: olv\* setrgbcolor

D65: 9 und 16stufige Farbreihen für 10 Bunttöne

output: Startup (S) data dependend

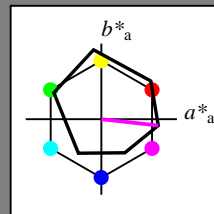
Eingabe: Farbmétrisches Offset-Reflektiv-System ORS18

für Buntton  $h^* = lab^*h = 354/360 = 0.982$  $lab^*tch$  und  $lab^*nch$ 

D65: Buntton M

LCH\*Ma: 48 76 354

olv\*Ma: 1.0 0.0 1.0

Dreiecks-Helligkeit  $t^*$ 

%Umfang

 $u^*_{rel} = 93$ 

%Regularität

 $g^*_{H,rel} = 57$  $g^*_{C,rel} = 59$ 

ORS18; adaptierte CIELAB-Daten

	$L^*=L^*_a$	$a^*_a$	$b^*_a$	$C^*_{ab,a}$	$h^*_{ab,a}$
O <sub>Ma</sub>	47.94	65.39	50.52	82.63	38
Y <sub>Ma</sub>	90.37	-10.26	91.75	92.32	96
L <sub>Ma</sub>	50.9	-62.83	34.96	71.91	151
C <sub>Ma</sub>	58.62	-30.34	-45.01	54.3	236
V <sub>Ma</sub>	25.72	31.1	-44.4	54.22	305
M <sub>Ma</sub>	48.13	75.28	-8.36	75.74	354
N <sub>Ma</sub>	18.01	0.0	0.0	0.0	0
W <sub>Ma</sub>	95.41	0.0	0.0	0.0	0
R <sub>CIE</sub>	39.92	58.66	26.98	64.57	25
J <sub>CIE</sub>	81.26	-2.16	67.76	67.79	92
G <sub>CIE</sub>	52.23	-42.25	11.76	43.87	164
B <sub>CIE</sub>	30.57	1.15	-46.84	46.86	271

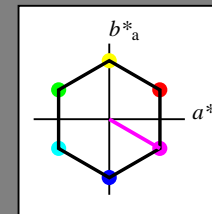
Ausgabe: Farbmétrisches Standard-Reflektiv-System SRS18

für Buntton  $h^* = lab^*h = 330/360 = 0.917$  $lab^*tch$  und  $lab^*nch$ 

D65: Buntton M

LCH\*Ma: 57 77 330

olv\*Ma: 1.0 0.0 1.0

Dreiecks-Helligkeit  $t^*$ 

%Umfang

 $u^*_{rel} = 100$ 

%Regularität

 $g^*_{H,rel} = 100$  $g^*_{C,rel} = 100$ 

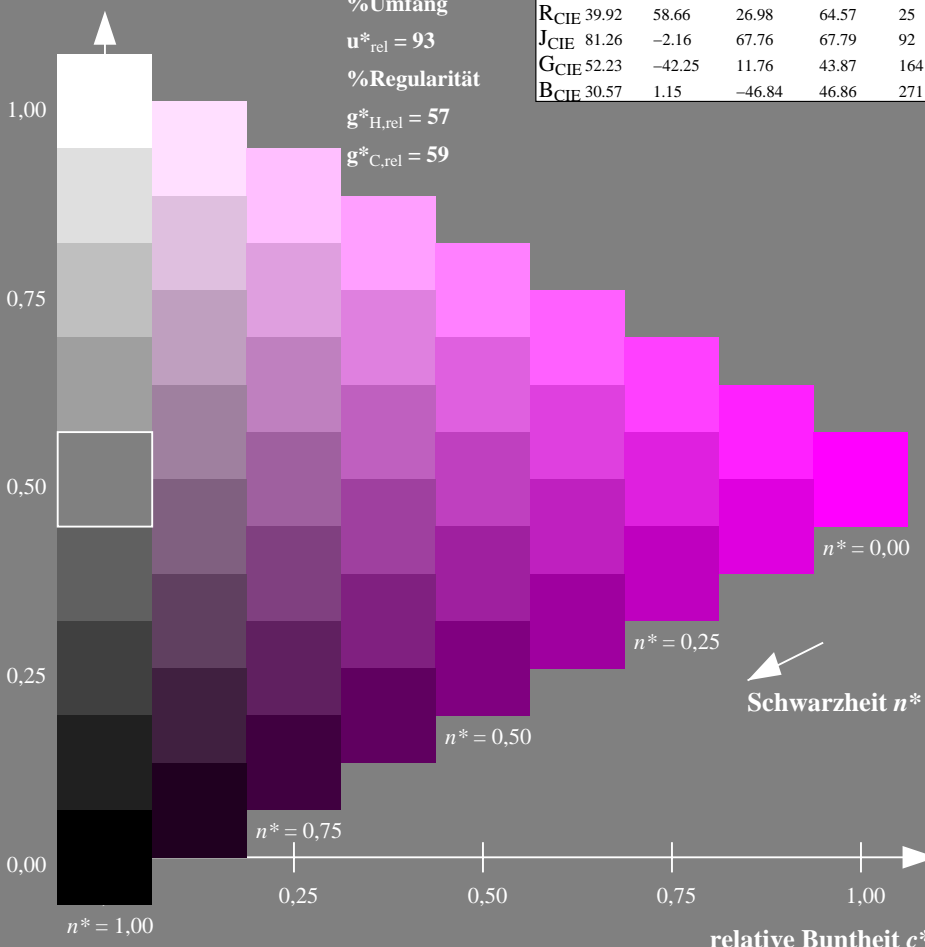
SRS18; adaptierte CIELAB-Daten

	$L^*=L^*_a$	$a^*_a$	$b^*_a$	$C^*_{ab,a}$	$h^*_{ab,a}$
O <sub>Ma</sub>	56.71	67.03	38.7	77.4	30
Y <sub>Ma</sub>	56.71	0.0	77.4	77.4	90
L <sub>Ma</sub>	56.71	-67.02	38.7	77.4	150
C <sub>Ma</sub>	56.71	-67.02	-38.69	77.4	210
V <sub>Ma</sub>	56.71	0.0	-77.39	77.4	270
M <sub>Ma</sub>	56.71	67.03	-38.69	77.4	330
N <sub>Ma</sub>	18.01	0.0	0.0	0.0	0
W <sub>Ma</sub>	95.41	0.0	0.0	0.0	0
R <sub>CIE</sub>	39.92	58.74	27.99	65.07	25
J <sub>CIE</sub>	81.26	-2.88	71.56	71.62	92
G <sub>CIE</sub>	52.23	-42.41	13.6	44.55	162
B <sub>CIE</sub>	30.57	1.41	-46.46	46.49	272

%Umfang

 $u^*_{rel} = 100$ 

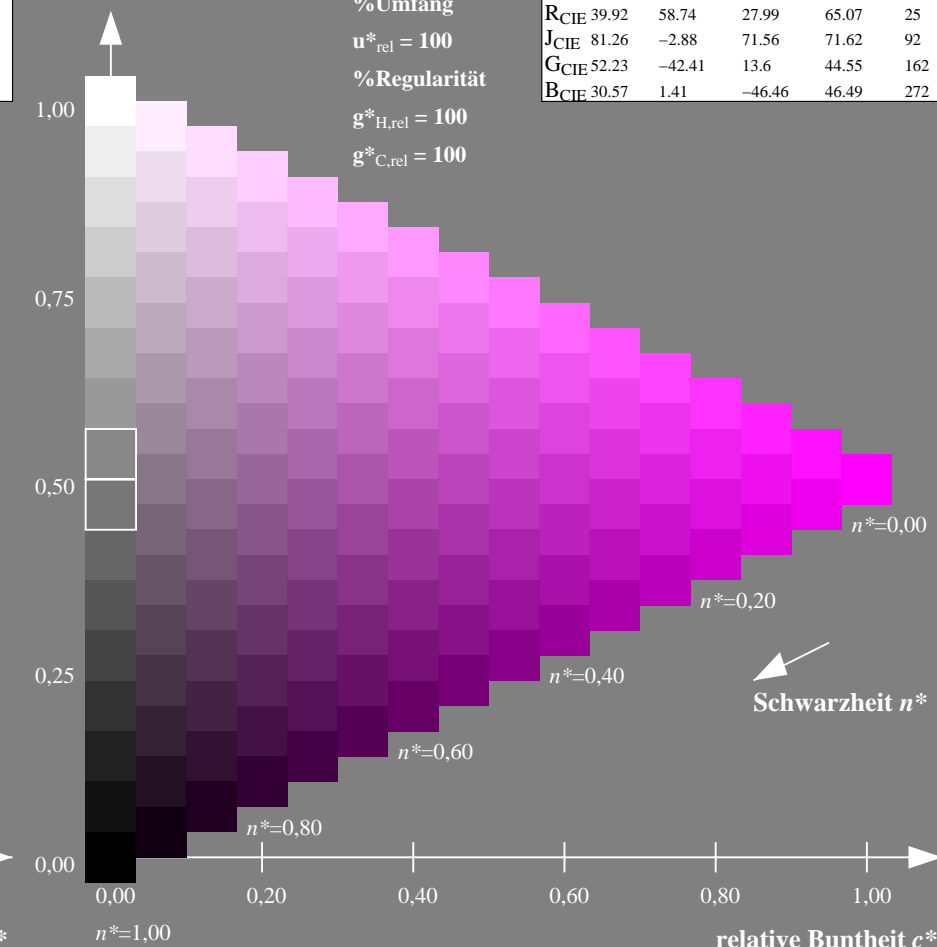
%Regularität

 $g^*_{H,rel} = 100$  $g^*_{C,rel} = 100$ 

NG920-7, 9stufige Reihen für konstanten CIELAB Buntton 354/360 = 0.982 (links)

BAM-Prüfvorlage NG92; Farbmétrik-Systeme ORS18 &amp; ORS18input: olv\* setrgbcolor

D65: 9 und 16stufige Farbreihen für 10 Bunttöne



16stufige Reihen für konstanten CIELAB Buntton 330/360 = 0.917 (rechts)

output: Startup (S) data dependend

**Eingabe: Farbmétrisches Offset-Reflektiv-System ORS18**

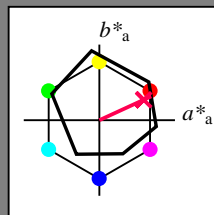
für Buntton  $h^* = l a b^* h = 25/360 = 0.069$

*lab\*tch* und *lab\*nch*

## D65: Buntton R

**LCH\*Ma: 48 75 25**

**olv\*Ma: 1.0 0.0 0.32**



ORS18; adaptierte CIELAB-Daten					
	$L^*_a$	$a^*_a$	$b^*_a$	$C^*_{ab,a}$	$h^*_{ab,a}$
O <sub>Ma</sub>	47.94	65.39	50.52	82.63	38
Y <sub>Ma</sub>	90.37	-10.26	91.75	92.32	96
L <sub>Ma</sub>	50.9	-62.83	34.96	71.91	151
C <sub>Ma</sub>	58.62	-30.34	-45.01	54.3	236
V <sub>Ma</sub>	25.72	31.1	-44.4	54.22	305
M <sub>Ma</sub>	48.13	75.28	-8.36	75.74	354
N <sub>Ma</sub>	18.01	0.0	0.0	0.0	0
W <sub>Ma</sub>	95.41	0.0	0.0	0.0	0
R <sub>CIE</sub>	39.92	58.66	26.98	64.57	25
J <sub>CIE</sub>	81.26	-2.16	67.76	67.79	92
G <sub>CIE</sub>	52.23	-42.25	11.76	43.87	164
B <sub>CIE</sub>	30.57	1.15	-46.84	46.86	271

### Dreiecks-Helligkeit $t^*$

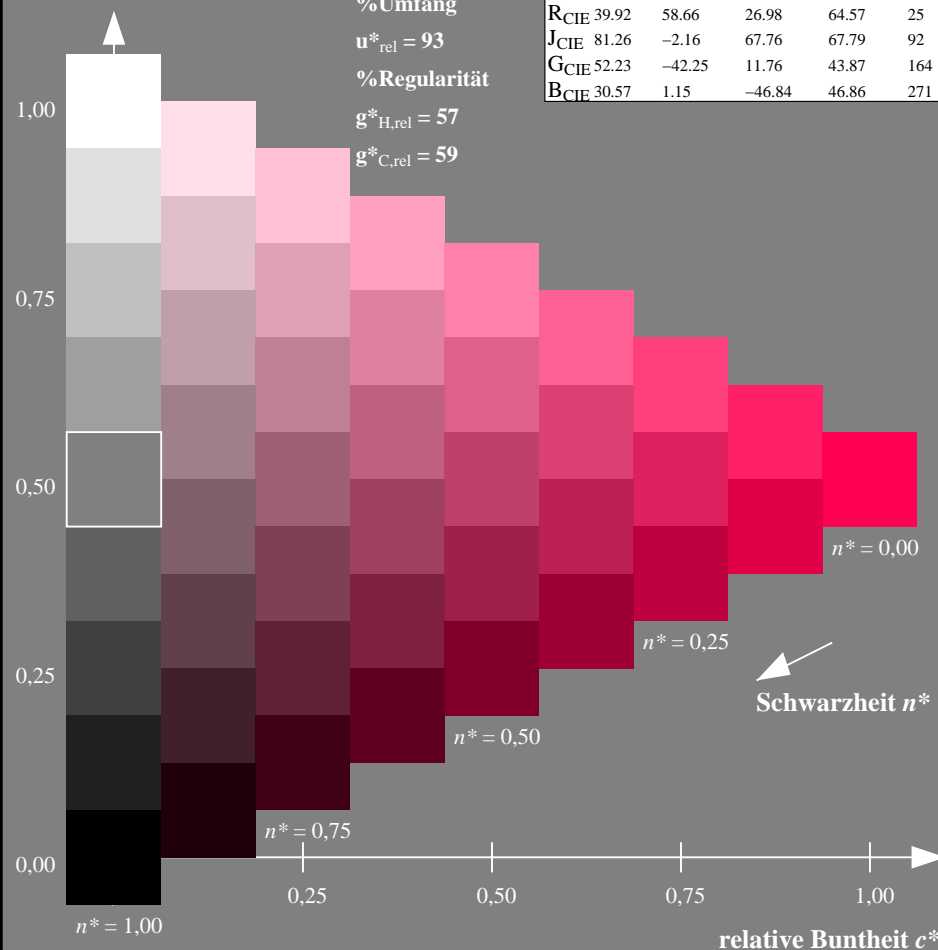
**%Umfang**

$$\mathbf{u}_{\text{rel}}^* = 93$$

### %Regularität

$$g^*_{H,rel} = 57$$

**$g^*_{C,rel} = 59$**



NG920-7, 9stufige Reihen für konstanten CIELAB Buntton 25/360 = 0.069 (links)

BAM-Prüfvorlage NG92; Farbmatrik-Systeme ORS18 & ORS18input: *olv\* setrgbcolor*

## D65: 9 und 16stufige Farbreihen für 10 Bunttöne

**Ausgabe: Farbmimetrisches Standard-Reflektiv-System SRS18**

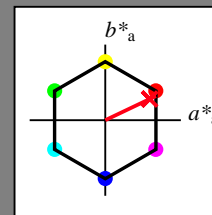
**für Buntton  $h^* = lab^*h = 25/360 = 0.071$**

**lab\*tch und lab\*nch**

## D65: Buntton R

**LCH\*Ma: 57 74 25**

**olv\*Ma: 1.0 0.0 0.09**



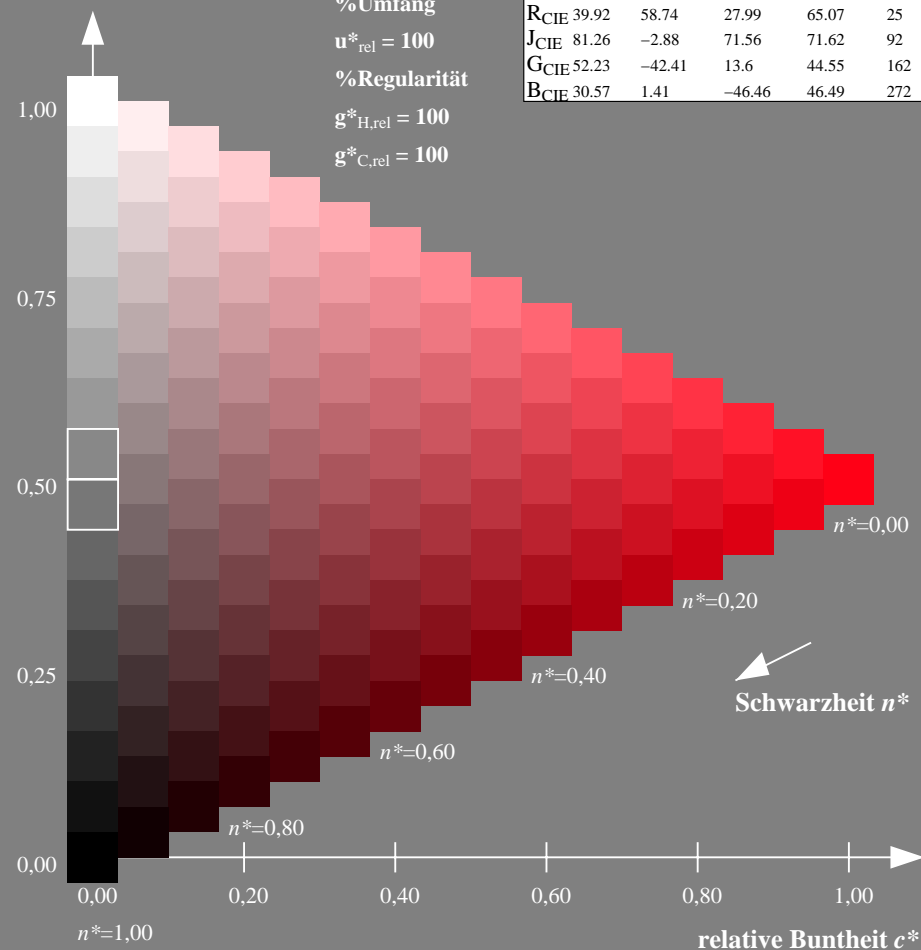
SRS18; adaptierte CIELAB-Daten					
	$L^*_{\text{a}}$	$a^*_{\text{a}}$	$b^*_{\text{a}}$	$C^*_{\text{ab,a}}$	$h^*_{\text{ab,a}}$
O <sub>Ma</sub>	56.71	67.03	38.7	77.4	30
Y <sub>Ma</sub>	56.71	0.0	77.4	77.4	90
L <sub>Ma</sub>	56.71	-67.02	38.7	77.4	150
C <sub>Ma</sub>	56.71	-67.02	-38.69	77.4	210
V <sub>Ma</sub>	56.71	0.0	-77.39	77.4	270
M <sub>Ma</sub>	56.71	67.03	-38.69	77.4	330
N <sub>Ma</sub>	18.01	0.0	0.0	0.0	0
W <sub>Ma</sub>	95.41	0.0	0.0	0.0	0
R <sub>CIE</sub>	39.92	58.74	27.99	65.07	25
J <sub>CIE</sub>	81.26	-2.88	71.56	71.62	92
G <sub>CIE</sub>	52.23	-42.41	13.6	44.55	162
B <sub>CIE</sub>	30.57	1.41	-46.46	46.49	272

### Dreiecks-Helligkeit $t^*$

**%Umfang**

$$\mathbf{u}_{\text{rel}}^* = 100$$

### %Regularität

$$g^*_{H,rel} = 100$$
$$g^*_{C,rel} = 100$$
16stufige Reihen für konstanten CIELAB Buntton  $25/360 = 0.071$  (rechts)

8input: *olv\* setrgbcolor*  
output: *Startup (S) data dependend*



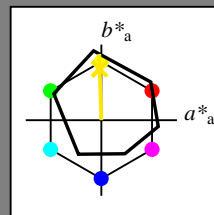
Eingabe: Farbmétrisches Offset-Reflektiv-System ORS18

für Buntton  $h^* = lab^*h = 92/360 = 0.255$  $lab^*tch$  und  $lab^*nch$ 

D65: Buntton J

LCH\*Ma: 86 88 92

olv\*Ma: 1.0 0.9 0.0

Dreiecks-Helligkeit  $t^*$ 

%Umfang

 $u^*_{rel} = 93$ 

%Regularität

 $g^*_{H,rel} = 57$  $g^*_{C,rel} = 59$ 

ORS18; adaptierte CIELAB-Daten

	$L^*=L^*_a$	$a^*_a$	$b^*_a$	$C^*_{ab,a}$	$h^*_{ab,a}$
O <sub>Ma</sub>	47.94	65.39	50.52	82.63	38
Y <sub>Ma</sub>	90.37	-10.26	91.75	92.32	96
L <sub>Ma</sub>	50.9	-62.83	34.96	71.91	151
C <sub>Ma</sub>	58.62	-30.34	-45.01	54.3	236
V <sub>Ma</sub>	25.72	31.1	-44.4	54.22	305
M <sub>Ma</sub>	48.13	75.28	-8.36	75.74	354
N <sub>Ma</sub>	18.01	0.0	0.0	0.0	0
W <sub>Ma</sub>	95.41	0.0	0.0	0.0	0
R <sub>CIE</sub>	39.92	58.66	26.98	64.57	25
J <sub>CIE</sub>	81.26	-2.16	67.76	67.79	92
G <sub>CIE</sub>	52.23	-42.25	11.76	43.87	164
B <sub>CIE</sub>	30.57	1.15	-46.84	46.86	271

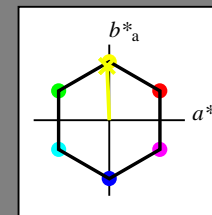
Ausgabe: Farbmétrisches Standard-Reflektiv-System SRS18

für Buntton  $h^* = lab^*h = 92/360 = 0.256$  $lab^*tch$  und  $lab^*nch$ 

D65: Buntton J

LCH\*Ma: 57 76 92

olv\*Ma: 0.95 1.0 0.0

Dreiecks-Helligkeit  $t^*$ 

%Umfang

 $u^*_{rel} = 100$ 

%Regularität

 $g^*_{H,rel} = 100$  $g^*_{C,rel} = 100$ 

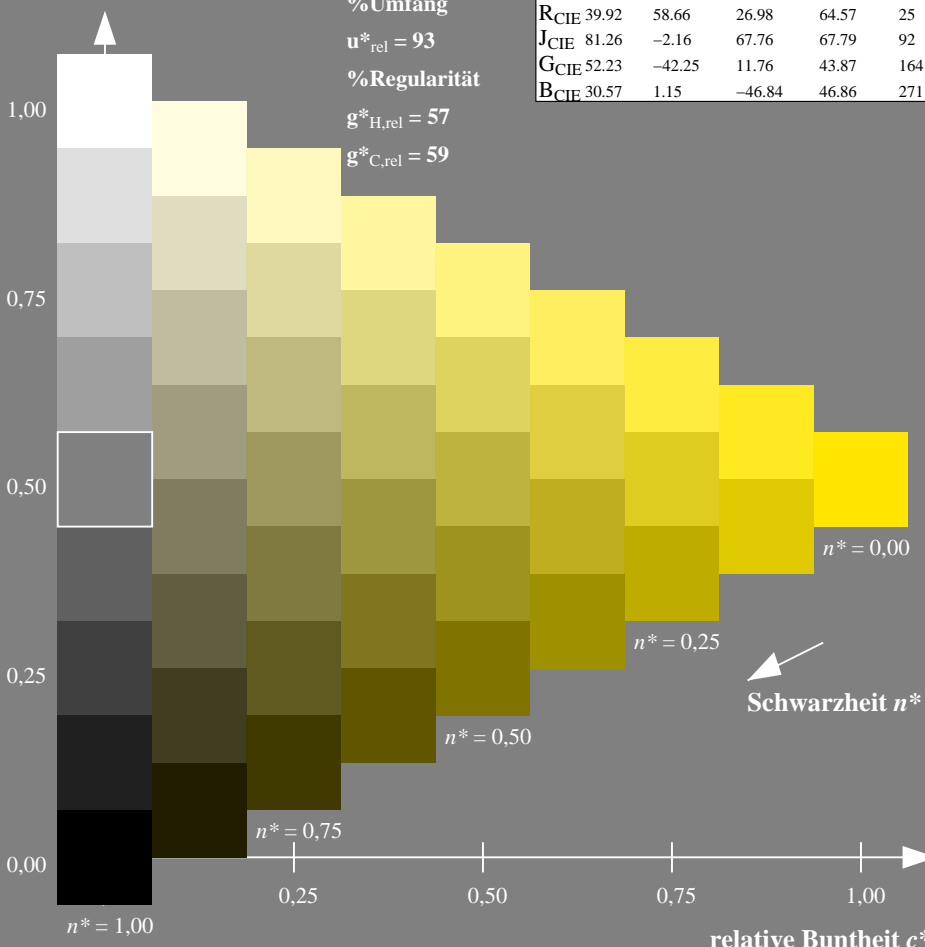
SRS18; adaptierte CIELAB-Daten

	$L^*=L^*_a$	$a^*_a$	$b^*_a$	$C^*_{ab,a}$	$h^*_{ab,a}$
O <sub>Ma</sub>	56.71	67.03	38.7	77.4	30
Y <sub>Ma</sub>	56.71	0.0	77.4	77.4	90
L <sub>Ma</sub>	56.71	-67.02	38.7	77.4	150
C <sub>Ma</sub>	56.71	-67.02	-38.69	77.4	210
V <sub>Ma</sub>	56.71	0.0	-77.39	77.4	270
M <sub>Ma</sub>	56.71	67.03	-38.69	77.4	330
N <sub>Ma</sub>	18.01	0.0	0.0	0.0	0
W <sub>Ma</sub>	95.41	0.0	0.0	0.0	0
R <sub>CIE</sub>	39.92	58.74	27.99	65.07	25
J <sub>CIE</sub>	81.26	-2.88	71.56	71.62	92
G <sub>CIE</sub>	52.23	-42.41	13.6	44.55	162
B <sub>CIE</sub>	30.57	1.41	-46.46	46.49	272

%Umfang

 $u^*_{rel} = 100$ 

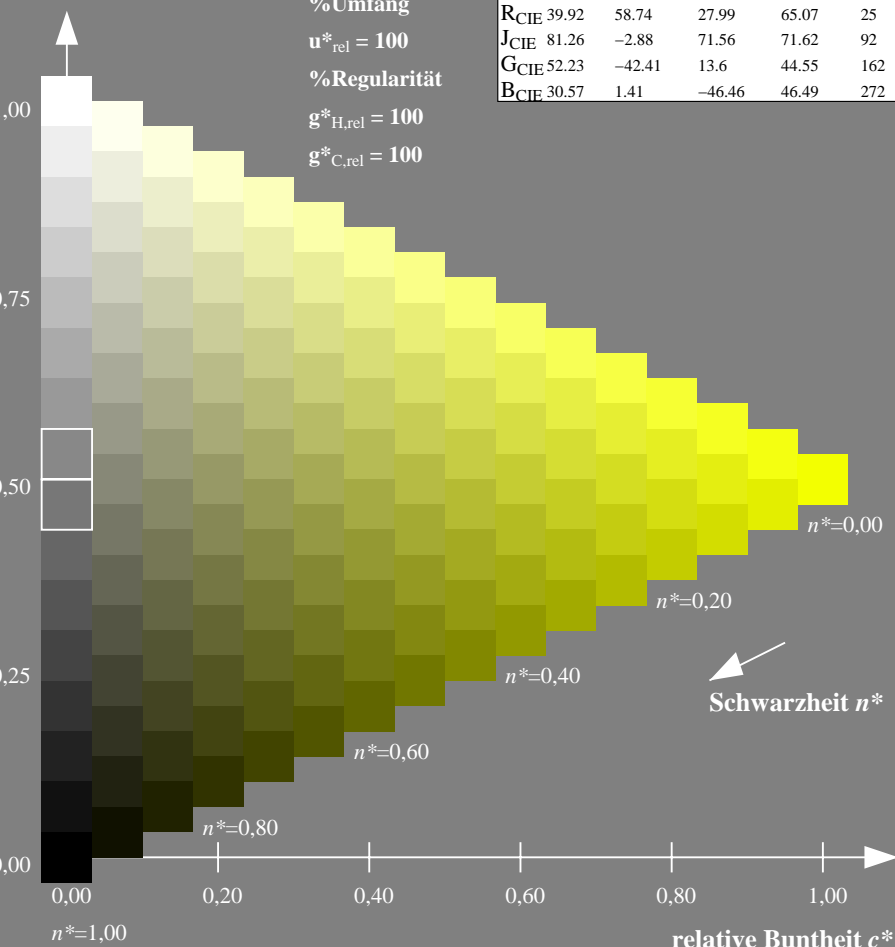
%Regularität

 $g^*_{H,rel} = 100$  $g^*_{C,rel} = 100$ 

NG920-7, 9stufige Reihen für konstanten CIELAB Buntton 92/360 = 0.255 (links)

BAM-Prüfvorlage NG92; Farbmétrik-Systeme ORS18 &amp; ORS18input: olv\* setrgbcolor

D65: 9 und 16stufige Farbreihen für 10 Bunttöne



16stufige Reihen für konstanten CIELAB Buntton 92/360 = 0.256 (rechts)

output: Startup (S) data dependend



**Eingabe: Farbmimetrisches Offset-Reflektiv-System ORS18**

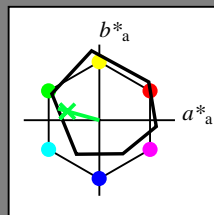
für Buntton  $h^* = lab^*h = 164/360 = 0.457$

*lab\*tch* und *lab\*nch*

## D65: Buntton G

**LCH\*Ma: 53 57 164**

**olv\*Ma: 0.0 1.0 0.25**



ORS18; adaptierte CIELAB-Daten					
	$L^*_{\text{a}}$	$a^*_{\text{a}}$	$b^*_{\text{a}}$	$C^*_{\text{ab,a}}$	$h^*_{\text{ab,a}}$
$O_{\text{Ma}}$	47.94	65.39	50.52	82.63	38
$Y_{\text{Ma}}$	90.37	-10.26	91.75	92.32	96
$L_{\text{Ma}}$	50.9	-62.83	34.96	71.91	151
$C_{\text{Ma}}$	58.62	-30.34	-45.01	54.3	236
$V_{\text{Ma}}$	25.72	31.1	-44.4	54.22	305
$M_{\text{Ma}}$	48.13	75.28	-8.36	75.74	354
$N_{\text{Ma}}$	18.01	0.0	0.0	0.0	0
$W_{\text{Ma}}$	95.41	0.0	0.0	0.0	0
$R_{\text{CIE}}$	39.92	58.66	26.98	64.57	25
$J_{\text{CIE}}$	81.26	-2.16	67.76	67.79	92
$G_{\text{CIE}}$	52.23	-42.25	11.76	43.87	164
$B_{\text{CIE}}$	30.57	1.15	-46.84	46.86	271

### Dreiecks-Helligkeit $t^*$

**%Umfang**

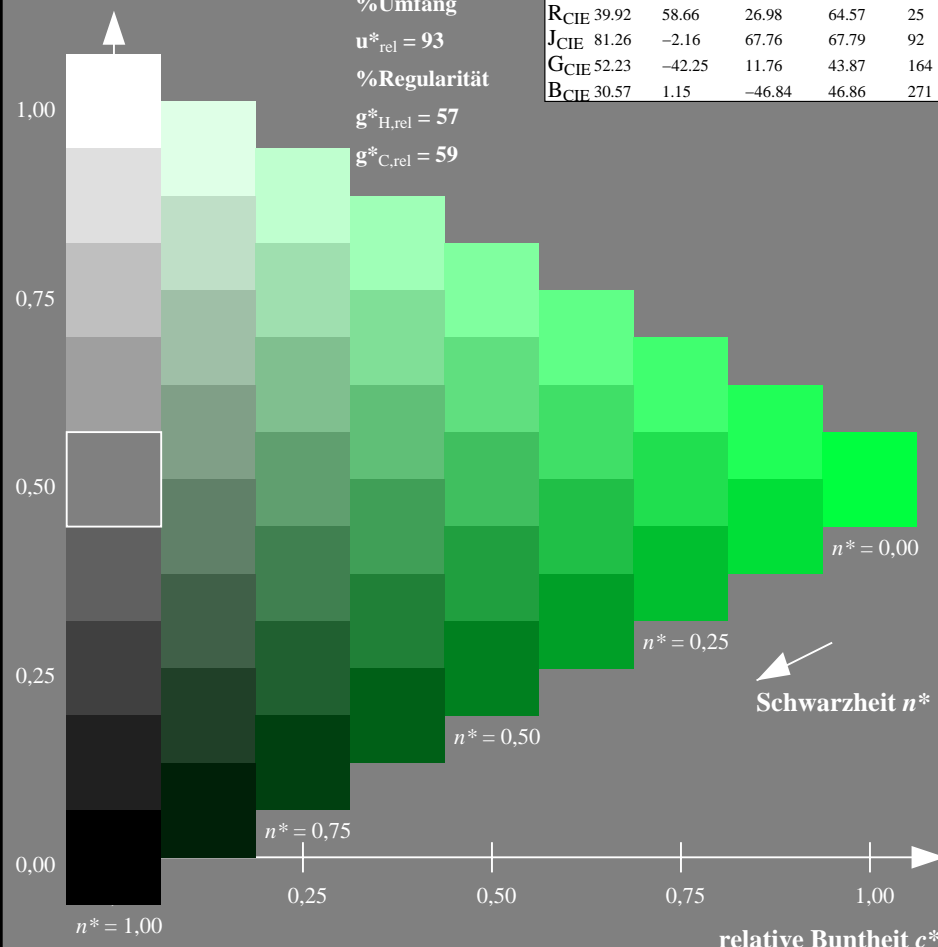
$$\mathbf{u}_{\text{rel}}^* = 93$$

### %Regularität

$$g^*_{H,rel} = 57$$

**g\*<sub>C,rel</sub> = 59**

100



NG920-7, 9stufige Reihen für konstanten CIELAB Buntton  $164/360 = 0.457$  (links)

BAM-Prüfvorlage NG92; Farbmatrik-Systeme ORS18 & ORS18input: *olv\* setrgbcolor*

## D65: 9 und 16stufige Farbreihen für 10 Bunttöne

Ausgabe: Farbmetrisches Standard-Reflektiv-System SRS18

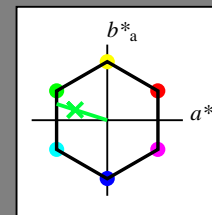
**für Buntton  $h^* = lab^*h = 162/360 = 0.451$**

**lab\*tch und lab\*nch**

### D65: Buntton G

LCH\*Ma: 57 70 162

olv\*Ma: 0.0 1.0 0.22



SRS18; adaptierte CIELAB-Daten					
	$L^*_{\text{a}}$	$a^*_{\text{a}}$	$b^*_{\text{a}}$	$C^*_{\text{ab,a}}$	$h^*_{\text{ab,a}}$
O <sub>Ma</sub>	56.71	67.03	38.7	77.4	30
Y <sub>Ma</sub>	56.71	0.0	77.4	77.4	90
L <sub>Ma</sub>	56.71	-67.02	38.7	77.4	150
C <sub>Ma</sub>	56.71	-67.02	-38.69	77.4	210
V <sub>Ma</sub>	56.71	0.0	-77.39	77.4	270
M <sub>Ma</sub>	56.71	67.03	-38.69	77.4	330
N <sub>Ma</sub>	18.01	0.0	0.0	0.0	0
W <sub>Ma</sub>	95.41	0.0	0.0	0.0	0
R <sub>CIE</sub>	39.92	58.74	27.99	65.07	25
J <sub>CIE</sub>	81.26	-2.88	71.56	71.62	92
G <sub>CIE</sub>	52.23	-42.41	13.6	44.55	162
B <sub>CIE</sub>	30.57	1.41	-46.46	46.49	272

### Dreiecks-Helligkeit $t^*$

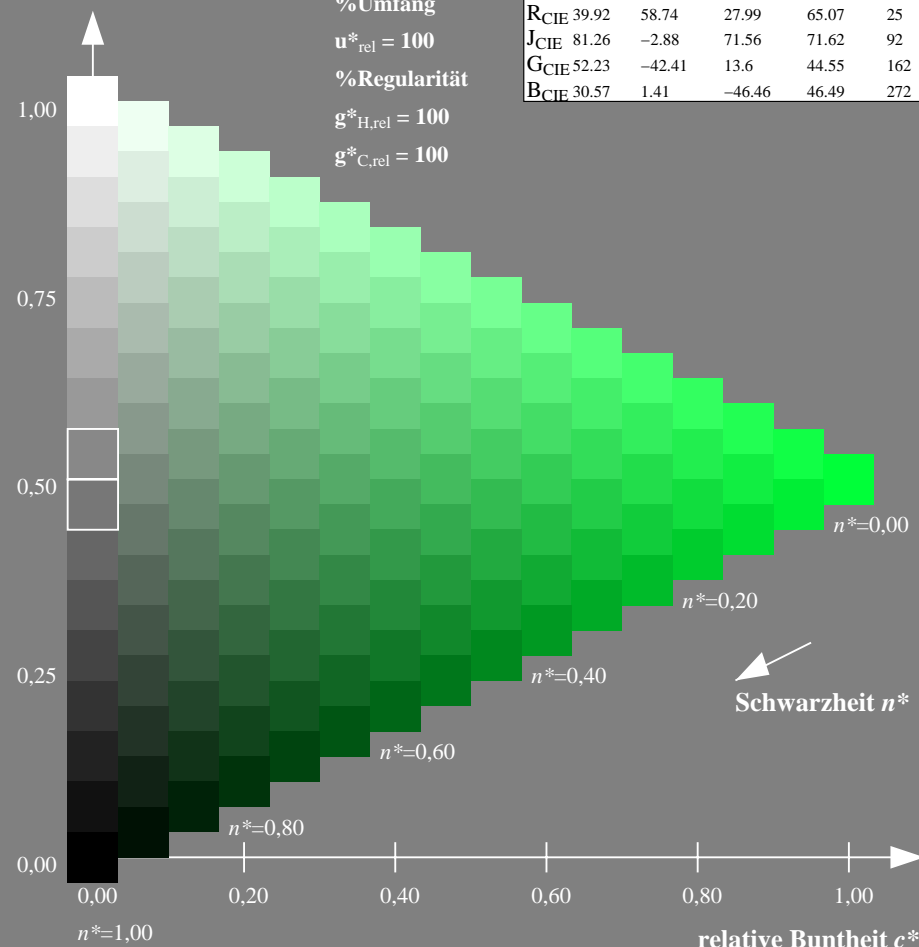
%Umfang

$$\mathbf{u}_{\text{rel}}^* = 100$$

**%Regularität**

$$g^*_{H,rel} = 100$$
$$g^*_{C_{rel}} = 100$$

100

16stufige Reihen für konstanten CIELAB Buntton  $162/360 = 0.451$  (rechts)

8input: *olv*\* *setrgbcolor*  
output: *Startup (S) data dependend*

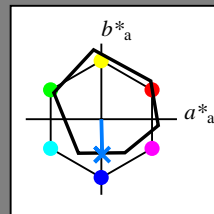
Eingabe: Farbmétrisches Offset-Reflektiv-System ORS18

für Buntton  $h^* = lab^*h = 271/360 = 0.754$  $lab^*tch$  und  $lab^*nch$ 

D65: Buntton B

LCH\*Ma: 42 45 271

olv\*Ma: 0.0 0.49 1.0



ORS18; adaptierte CIELAB-Daten

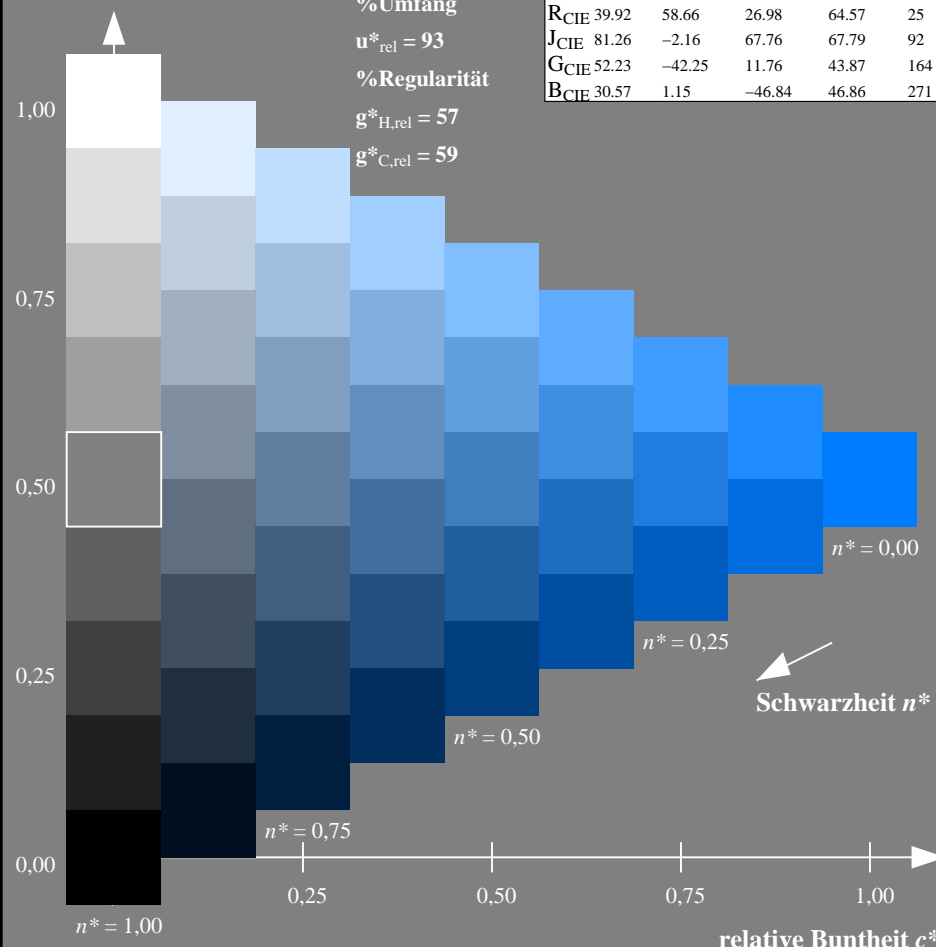
	$L^*=L^*_a$	$a^*_a$	$b^*_a$	$C^*_{ab,a}$	$h^*_{ab,a}$
O <sub>Ma</sub>	47.94	65.39	50.52	82.63	38
Y <sub>Ma</sub>	90.37	-10.26	91.75	92.32	96
L <sub>Ma</sub>	50.9	-62.83	34.96	71.91	151
C <sub>Ma</sub>	58.62	-30.34	-45.01	54.3	236
V <sub>Ma</sub>	25.72	31.1	-44.4	54.22	305
M <sub>Ma</sub>	48.13	75.28	-8.36	75.74	354
N <sub>Ma</sub>	18.01	0.0	0.0	0.0	0
W <sub>Ma</sub>	95.41	0.0	0.0	0.0	0
R <sub>CIE</sub>	39.92	58.66	26.98	64.57	25
J <sub>CIE</sub>	81.26	-2.16	67.76	67.79	92
G <sub>CIE</sub>	52.23	-42.25	11.76	43.87	164
B <sub>CIE</sub>	30.57	1.15	-46.84	46.86	271

Dreiecks-Helligkeit  $t^*$ 

%Umfang

 $u^*_{rel} = 93$ 

%Regularität

 $g^*_{H,rel} = 57$  $g^*_{C,rel} = 59$ 

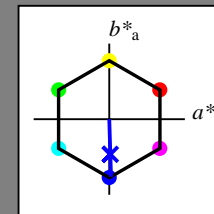
Ausgabe: Farbmétrisches Standard-Reflektiv-System SRS18

für Buntton  $h^* = lab^*h = 272/360 = 0.755$  $lab^*tch$  und  $lab^*nch$ 

D65: Buntton B

LCH\*Ma: 57 76 272

olv\*Ma: 0.03 0.0 1.0



SRS18; adaptierte CIELAB-Daten

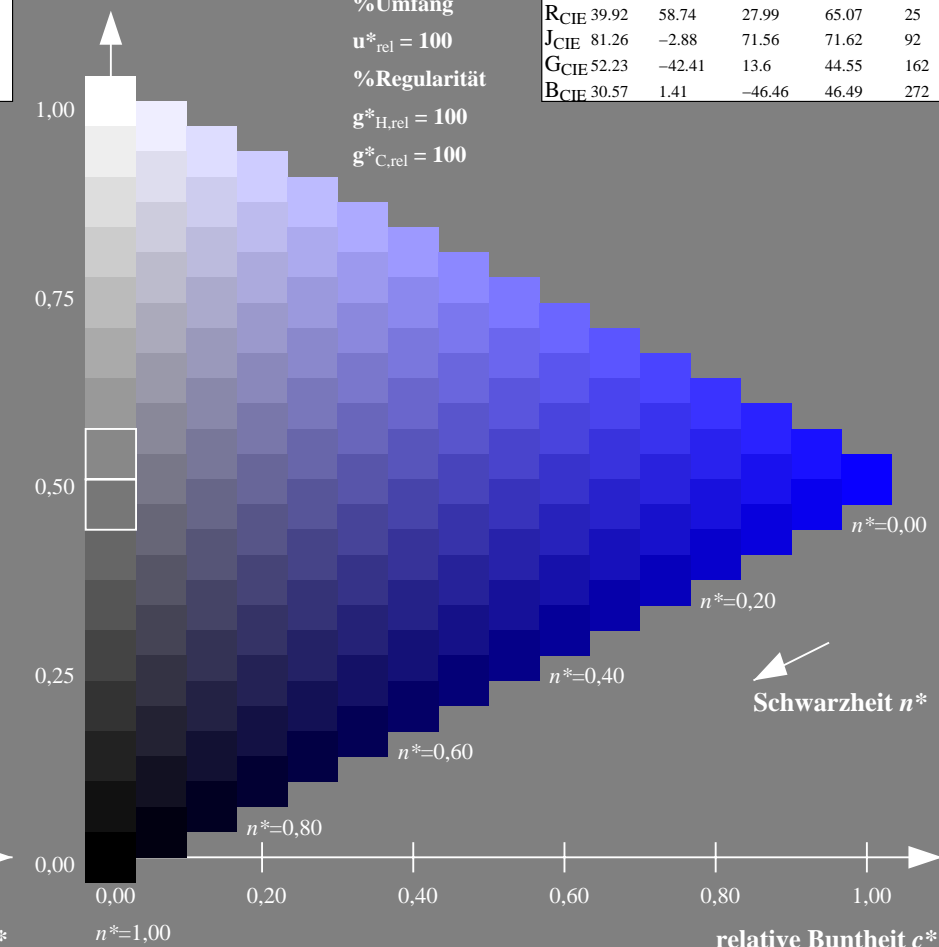
	$L^*=L^*_a$	$a^*_a$	$b^*_a$	$C^*_{ab,a}$	$h^*_{ab,a}$
O <sub>Ma</sub>	56.71	67.03	38.7	77.4	30
Y <sub>Ma</sub>	56.71	0.0	77.4	77.4	90
L <sub>Ma</sub>	56.71	-67.02	38.7	77.4	150
C <sub>Ma</sub>	56.71	-67.02	-38.69	77.4	210
V <sub>Ma</sub>	56.71	0.0	-77.39	77.4	270
M <sub>Ma</sub>	56.71	67.03	-38.69	77.4	330
N <sub>Ma</sub>	18.01	0.0	0.0	0.0	0
W <sub>Ma</sub>	95.41	0.0	0.0	0.0	0
R <sub>CIE</sub>	39.92	58.74	27.99	65.07	25
J <sub>CIE</sub>	81.26	-2.88	71.56	71.62	92
G <sub>CIE</sub>	52.23	-42.41	13.6	44.55	162
B <sub>CIE</sub>	30.57	1.41	-46.46	46.49	272

Dreiecks-Helligkeit  $t^*$ 

%Umfang

 $u^*_{rel} = 100$ 

%Regularität

 $g^*_{H,rel} = 100$  $g^*_{C,rel} = 100$ 

NG920-7, 9stufige Reihen für konstanten CIELAB Buntton 271/360 = 0.754 (links)

16stufige Reihen für konstanten CIELAB Buntton 272/360 = 0.755 (rechts)

BAM-Prüfvorlage NG92; Farbmétrik-Systeme ORS18 &amp; ORS18input: olv\* setrgbcolor

D65: 9 und 16stufige Farbreihen für 10 Bunttöne

output: Startup (S) data dependend